

7. Fourierovy řady. Diskrétní Fourierova transformace, její použití a interpretace. Spektrum signálu, FFT. Číslicové filtry FIR a IIR. Filtrace v čase nebo prostoru.

### Fourierovy řady

- Libovolný periodický signál lze rozložit na jednotlivé harmonické složky – harmonická analýza.
- !Umožňují rozložit a složit jakýkoliv **periodický spojitý** signál na harmonické složky!.
- Pro výpočet rozkladu je nutné, aby byl signál popsán **analytickou funkcí**

Trigonometrický tvar Fourierových řad

$$x(t) = a_0 + \sum_{k=1}^{\infty} [a_k \cos(k\omega_0 t) + b_k \sin(k\omega_0 t)]$$

$a_0$  představuje stejnosměrnou složku signálu  
každá složka je popsána kombinací funkcí *sin* a *cos*  
počet složek je v obecném případě nekonečný  
pro daný signál je nutné spočítat koeficienty  $a_k$  a  $b_k$

$$a_k = \frac{2}{T} \int_0^T x(t) \cos(k\omega_0 t) dt \quad a_0 = \frac{1}{T} \int_0^T x(t) dt$$

$$b_k = \frac{2}{T} \int_0^T x(t) \sin(k\omega_0 t) dt$$

**Nevýhodou jsou tři typy koeficientů.**

Polární tvar Fourierových řad

$$x(t) = \sum_{k=0}^{\infty} c_k \cos(k\omega_0 t + \varphi_k)$$

součet sinusovky a kosinusovky o stejné frekvenci je zde nahrazen pouze kosinusovkou rozšířenou o obecný fázový úhel

pro daný signál je nutné spočítat koeficienty  $c_k$  a  $\varphi_k$   
umožňuje výpočet spektra (jednostranného) – závislost  $c_k$  a  $\varphi_k$  na  $k$

výpočet se provádí přes  $a_k$  a  $b_k$

$$c_k = \sqrt{a_k^2 + b_k^2} \quad \varphi_k = \arctan(b_k / a_k)$$

## Exponenciální tvar

$$x(t) = \sum_{k=-\infty}^{\infty} X_k \exp(jk\omega_0 t)$$

- $X_k$  je komplexní koef., definován i pro záporná čísla  $k$
- vede na koncept dvoustranného spektra – pro kladné i záporné frekvence
- složky se zápornou frekvencí mají význam kosinusovek s opačnou fází
- vztahy mezi koeficienty FŘ v různých tvarech

$$X_k = \frac{1}{2}(a_k - jb_k) \quad c_k = 2|X_k|$$

**výhoda exponenciálního tvaru – snazší výpočet**

## Diskrétní Fourierovy řady

- **Spektrum u číslicových signálů** – nelze přímo aplikovat FŘ (není analytická funkce) a signály jsou konečné a více či méně náhodné.
- Číslicové signály jsou běžnější a řešit výpočet převodníky je drahé => vznik **DFT**
- Jsou aplikovatelné na **periodické číslicové signály**

**Požadavek:** pro vzorkovaný periodický signál musí dávat **stejný výsledek** (stejně spektrum) jako pro pův. nevzorkovaný signál.

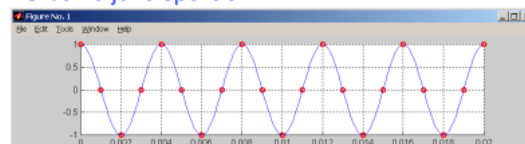
Vztah: 
$$X[k] = \frac{1}{N} \sum_{n=0}^{N-1} x[n] \cdot e^{-j2\pi kn/N}$$

určuje, jak vypočítat komplexní spektrální koeficient  $X[k]$  z  $N$  vzorků vstupního číslicového signálu

- Je-li signál popsán  $N$  vzorky, stačí spočítat pouze prvních  $N/2$  hodnot spektra. Další  $N/2$  hodnot jsou čísla komplexně sdružená a není třeba je počítat. Při praktické interpretaci je třeba amplitudu násobit číslem 2.
- Výpočtem podle výše uvedeného vztahu dostaneme diskrétní spektrum, nebo také vzorkované spektrum s hodnotami komplexních koeficientů na frekvencích  $k \cdot F_s/N$ .
- Spektrum můžeme počítat i pro  $k > N$ , dostaneme však stejné hodnoty jako pro základní interval  $-N/2 < k < N/2$ . Spektrum číslicových signálů je totiž periodické s periodou  $F_s$ .

Příklad použití:

**Příklad:** Mějme signál  $x(t) = \cos 2\pi 250t$  vzorkovaný na 1 kHz  
Určeme jeho spektrum.



Periodu tvoří 4 vzorky, tj  $N = 4$ ,  $x[0]=1$ ,  $x[1]=0$ ,  $x[2]=-1$ ,  $x[3]=0$   
pro výpočet spektra můžeme použít rovnice na předchozí stránce

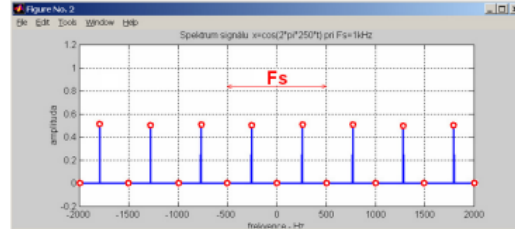
$$\begin{aligned} X[0] &= \frac{1}{4}(x[0] \cdot e^{-j2\pi 0 \cdot 0/4} + x[1] \cdot e^{-j2\pi 1 \cdot 0/4} + x[2] \cdot e^{-j2\pi 2 \cdot 0/4} + x[3] \cdot e^{-j2\pi 3 \cdot 0/4}) = \frac{1}{4}(1.1 + 0.1 - 1.1 + 0.1) = 0 \\ X[1] &= \frac{1}{4}(x[0] \cdot e^{-j2\pi 0 \cdot 1/4} + x[1] \cdot e^{-j2\pi 1 \cdot 1/4} + x[2] \cdot e^{-j2\pi 2 \cdot 1/4} + x[3] \cdot e^{-j2\pi 3 \cdot 1/4}) = \frac{1}{4}(1 + 0 + (-1) \cdot (-1) + 0) = 0,5 \\ X[2] &= \frac{1}{4}(x[0] \cdot e^{-j2\pi 0 \cdot 2/4} + x[1] \cdot e^{-j2\pi 1 \cdot 2/4} + x[2] \cdot e^{-j2\pi 2 \cdot 2/4} + x[3] \cdot e^{-j2\pi 3 \cdot 2/4}) = \frac{1}{4}(1.1 + 0.1 - 1.1 + 0.1) = 0 \\ X[3] &= \frac{1}{4}(x[0] \cdot e^{-j2\pi 0 \cdot 3/4} + x[1] \cdot e^{-j2\pi 1 \cdot 3/4} + x[2] \cdot e^{-j2\pi 2 \cdot 3/4} + x[3] \cdot e^{-j2\pi 3 \cdot 3/4}) = \frac{1}{4}(1 + 0 + (-1) \cdot (-1) + 0) = 0,5 \end{aligned}$$

Koeficienty  $X[k]$  patří k harmonickým složkám na frekvencích  $k \cdot (F_s/N)$ , tedy na frekvencích 0 Hz, 250 Hz, 500 Hz, 750 Hz

Složka na frekvenci 0 Hz má (komplexní) koeficient .... 0

250 Hz	0,5
500 Hz	0
750 Hz	0,5

U číslic.signálů však **neexistují frekvence nad  $F_s/2$** , dojde tedy k přesunutí z 500 Hz na 0 Hz a ze 750 Hz na - 250 Hz



V jednostranném spektru neuvažujeme záporné frekvence, takže budeme mít složky pouze na frekvencích:

0 Hz s koeficientem 0, a 250 Hz s koeficientem  $0,5 + 0,5 = 1$

## Diskrétní Fourierova transformace – její použití a interpretace

Spojité signály (popsané analytickou funkcí) Na neperiodický signál se nahlíží jako na signál, jehož  $T \rightarrow \infty$ . Místo Fourier. řad se používá Fourierova transformace (FT):

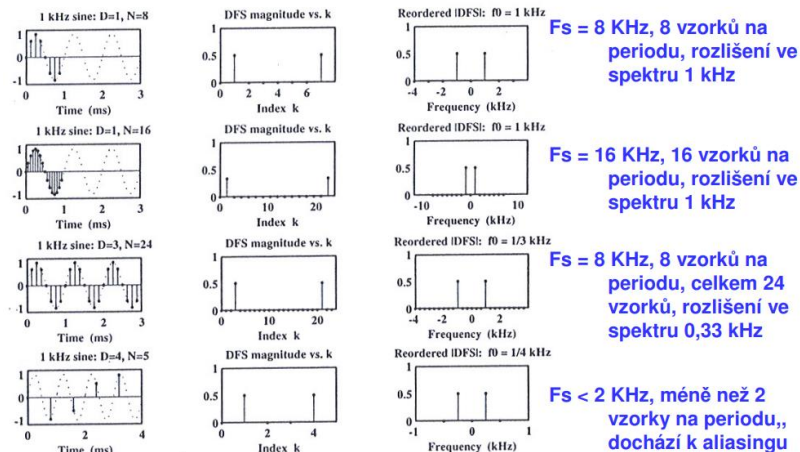
$$X(f) = \int_{-\infty}^{\infty} x(t) \exp(-j2\pi ft) dt$$

**Číslicové signály** (popsané konečnou sekvencí hodnot)

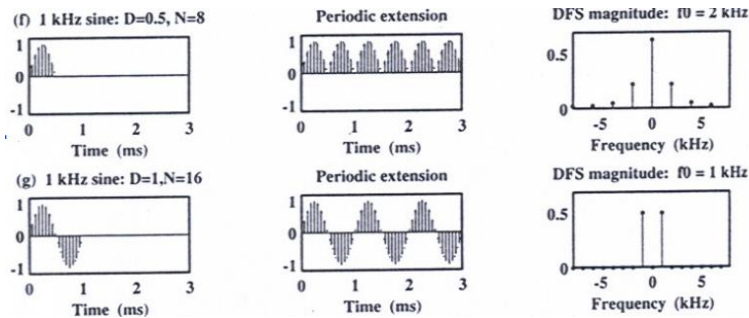
- Na danou sekvenci hodnot pohlížíme, jakoby by byla jednou periodou periodického signálu. Pak můžeme použít **Diskrétní Fourierovu transformaci** (DFT), která je popsána úplně stejným vztahem jako DFR:

$$X[k] = \frac{1}{N} \sum_{n=0}^{N-1} x[n] \exp(-j2\pi nk / N)$$

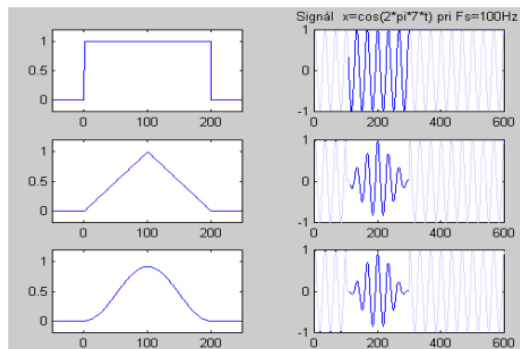
- Závěr:
  - Spektrum číslicového signálu je diskrétní a periodické**
  - N určuje velikost rozlišení frekvencí ve spektru



- pokud N nereprezentuje periodu, spektrum je „rozmazané“



- Při analýze neznámých signálů neznáme jejich periodu, signály navíc nemusí být ani periodické, prakticky vždy tedy dojde k rozmazání spektra (objeví se neexistující složky)
- **Okénkovací funkce** (window function) – řeší otázku, jak nejlépe provést výřez, a alespoň částečně eliminovat rozmazání



- Provést výřez části signálu znamená násobit signál obdélníkovou funkcí. Násobení v čase se převádí na **konvoluci** ve spektru (konvoluce spektra signálu se spektrem okna). Obdélníkové okno má z tohoto pohledu nejnepříznivější spektrum.

Zpětná (inverzní) DFT

**Vztahy pro DFT**

**a**

**IDFT:**

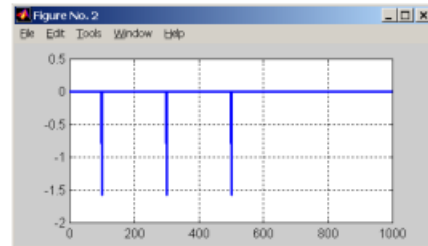
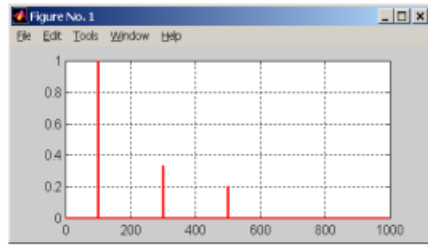
$$X[k] = \sum_{n=0}^{N-1} x[n] \exp(-j2\pi nk / N) \quad x[n] = \frac{1}{N} \sum_{k=0}^{N-1} X[k] \exp(j2\pi nk / N)$$

- Liší se pouze ve znaménku
- Do IDFT vstupuje vždy N hodnot **dvoustranného** spektra
- Pokud na signál aplikujeme nejprve DFT a následně IDFT, dostaneme **tentýž** signál

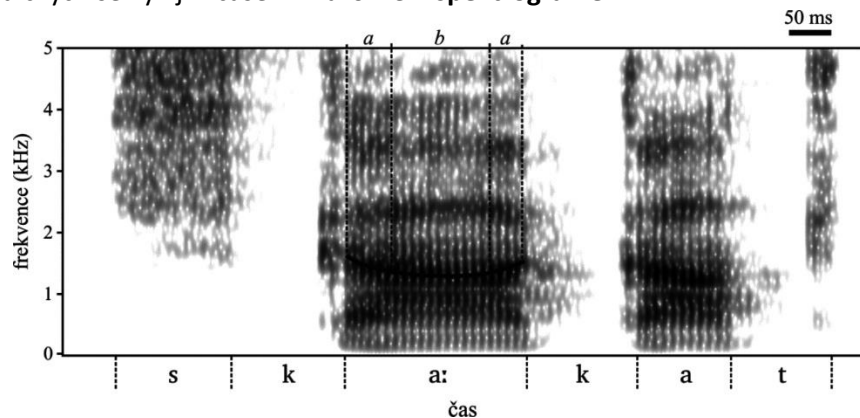
## Spektrum signálu

= Závislost amplitud a fází harmonických složek na frekvenci

- Používáme:
  - **Amplitudové spektrum** – A jako funkce f
  - **Fázové spektrum** –  $\Phi$  jako funkce f (fáze je vztažena vůči kosinové funkci)
- U periodických signálů je čárové

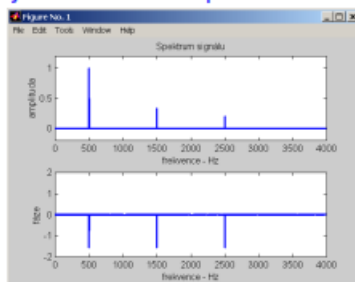


- U neperiodických se vyvíjí v čase – Znázornění **spektrogramem**

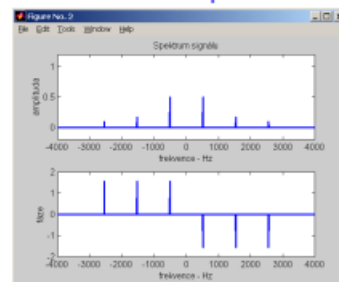


- Dělíme na:
  - **Jednostranné spektrum** – vychází z polárního tvaru a zobrazuje pouze kladné frekvence
  - **Dvoustranné spektrum** – vychází z exponenciálního tvaru a zobrazuje kladné a záporné frekvence.

jednostranné spektrum



dvoustranné spektrum



- Spektrum používané v praxi **je jednostranné**, většina výpočetních postupů však počítá dvoustranné spektrum, z něhož snadno odvodíme jednostranné.

## Rychlá Fourierova transformace – FFT

- poskytuje úplně stejné hodnoty jako DFT, ale mnohem rychlejším způsobem
- vysoké rychlosti je dosaženo optimalizovaným výpočtem,
- ten bere v úvahu např. symetričnost exponenciálních členů  $\exp(-j2\pi nk/N)$
- dále podobnost mezi lichými a sudými koeficienty, atd.
- nejrychleji funguje v případech, že  $N$  je mocninou 2
- Přímé vyhodnocení sum (vzorce FT) by zabralo  $O(n^2)$  aritmetických operací. FFT naproti tomu poskytuje složitost pouze  $O(n \log n)$  operací.

# Číslicové filtry FIR a IIR

## Jednoduché číslicové LTI systémy

### Systémy typu FIR (Final Impulse Response)

- systémy s konečnou impulzní odezvou (na jednotkový impuls reagují signálem s konečným počtem vzorků)

- popis v časové oblasti  $y[n] = \sum_{k=0}^M b_k x[n-k]$

*impulzní odezva trvá M vzorků*

- nerekurzivním algoritmem

**Zesilovač:**  $y[n] = k \cdot x[n]$

impulsní odezva  $h[n] = k \delta[n]$

vektor koeficientů  $b = [k]$  *jediný nenulový koeficient*

**Zpoždovač**  $y[n] = x[n-k]$

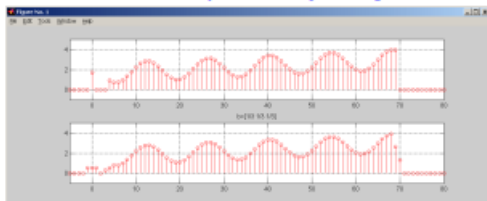
impulsní odezva  $h[n] = \delta[n-k]$

vektor koeficientů  $b = [0, 0, \dots, 1]$  *též jediný koeficient*

**Průměrovací filtr (3.řádu) nekauzální:**

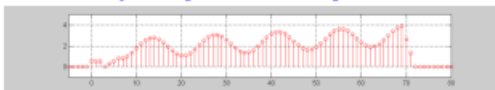
$$y[n] = (x[n-1] + x[n] + x[n+1])/3$$

vektor koeficientů imp. odezvy  $b = [1/3, 1/3, 1/3]$



**Prům. filtr kauzální:**  $y[n] = (x[n] + x[n-1] + x[n-2])/3$

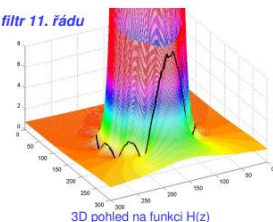
tytéž koeficienty  $b = [1/3, 1/3, 1/3]$ , rozdíl ve fázovém zpoždění



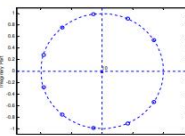
### Filtry FIR řádu M

- mají M nulových bodů, které určují místa největšího útlumu
- mají M-násobný pól v počátku, který má pouze nepřímý vliv na funkci filtru

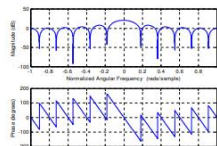
Průměr. filtr 11. řádu



3D pohled na funkci H(z)



Nuly a póly v rovině z



Frekvenční charakteristika



Poměrně **jednoduchý** a **intuitivní** návrh

Filtr je **nerekursivní** (bez zpětných vazeb), je tudíž vždy **stabilní** (nemůže způsobit kmitání)

Filtry FIR mohou zajistit **lineární** průběh **fázové charakteristiky**

S filtry FIR se **hůře dosahuje velká strmost** přechodu mezi propustným a nepropustným pásmem

Pro dosažení velké strmosti jsou třeba **filtry s mnoha koeficienty**, takové filtry mají dlouhé zpoždění

## IIR

**IIR** – infinite impulse response, s nekonečnou impulsní odezvou

Výstupní signál zaveden na vstup – **zpětná vazba**

$$y[n] + A_1 y[n-1] \dots A_N y[n-N] = B_0 x[n] + B_1 x[n-1] \dots B_M x[n-M]$$

**Přenosová funkce** vyjádřená pomocí Z-transformace

$$H(z) = \frac{B_0 + B_1 z^{-1} \dots B_M z^{-M}}{1 + A_1 z^{-1} \dots A_N z^{-N}} = z^{N-M} \frac{(z - z_1)(z - z_2) \dots (z - z_M)}{(z - p_1)(z - p_2) \dots (z - p_N)}$$

má **M nul** (v čitateli), **N pólů** (ve jmenovateli), a dále nuly nebo póly v počátku či v nekonečnu (v závislosti na členu  $z^{N-M}$ )

**Frekv. charakteristiku** dostaneme opět dosazením  $z = e^{j2\pi F}$  do  $H(z)$ , tedy na jednotkové kružnici

$$H(F) = \frac{B_0 + B_1 e^{-j2\pi F} \dots B_M e^{-j2\pi FM}}{1 + A_1 e^{-j2\pi F} \dots A_N e^{-j2\pi FN}}$$

## Výhody a nevýhody filtrů IIR

Poměrně **složitý** a **méně intuitivní** návrh

Filtr je **rekursivní** (se zpětnými vazbami), může být **nestabilní** (pro amplitudově omezený vstupní signál by generoval signál s neustále rostoucími amplitudami)

Filtr IIR bude **stabilní**, pokud všechny jeho póly leží **uvnitř jednotkové kružnice**

S filtry IIR lze dosáhnout **velmi strmé přechody** mezi propustným a nepropustným pásmem, a to i při malém řádu filtru.

Filtry IIR nemají lineární průběh fázové charakteristiky.

Filtrace v čase nebo prostoru

**Časový popis pomocí diferenční rovnice:**

$$y[n] + A_1 y[n-1] \cdot \dots \cdot A_N y[n-N] = B_0 x[n] + B_1 x[n-1] \cdot \dots \cdot B_M x[n-M]$$

**Časový popis pomocí impulzní odezvy:**

$$y[n] = h[n] * x[n] = \sum_{k=-\infty}^{\infty} h[k] x[n-k]$$

**Systémový popis pomocí přenosové funkce:**

$$H(z) = \frac{B_0 + B_1 z^{-1} \cdot \dots \cdot B_M z^{-M}}{1 + A_1 z^{-1} \cdot \dots \cdot A_N z^{-N}}$$

**Frekvenční přenosová charakteristika (za  $z$  dosazeno  $e^{j2\pi F}$ )**

$$H(F) = \frac{B_0 + B_1 e^{-j2\pi F} \cdot \dots \cdot B_M e^{-j2\pi F M}}{1 + A_1 e^{-j2\pi F} \cdot \dots \cdot A_N e^{-j2\pi F N}}$$

**V časové doméně je klíčový popis pomocí impulzní odezvy:**

$$y[n] = h[n] * x[n]$$

**Ve frekvenční doméně pak popis pomocí Fourier. transf.**

$$Y(F) = H(F) X(F)$$

kde  $Y(F)$  je DFT výstupního signálu

$X(F)$  je DFT vstupního signálu

$H(F)$  je DFT impulzní odezvy systému a zároveň

$$H(F) = \frac{B_0 + B_1 e^{-j2\pi F} \cdot \dots \cdot B_M e^{-j2\pi F M}}{1 + A_1 e^{-j2\pi F} \cdot \dots \cdot A_N e^{-j2\pi F N}}$$

**Platí:**

1. Frekv. charakteristika je Fourier. transf. impulzní odezvy
2. Konvoluce v čase se transformuje na součin ve frekvencích

V prostoru:

Ve statickém obraze nehraje při filtrování roli čas,  
ale prostor - **okolí jednotlivých bodů**.

Obrazové filtry rovněž pracují **na principu konvoluce**, tj.  
novou hodnotu v daném bodě určí z lineární kombinace  
hodnot v okolních bodech.

$$I_k(x, y) = \sum_{i, j \in \text{okolí}} h(i, j) \cdot I_{k-1}(x+i, y+j)$$

**Nová** hodnota v bodu

**konvoluční jádro**

**předchozí** hodnoty v okolí

**Poznámka:**

Operace s obrazy se dělají v iteračních krocích. Při výpočtu nové iterace je třeba nové hodnoty ukládat do jiné matice než té, v níž byly uloženy původní hodnoty.